
Projet ANDROIDE

Production et distribution intégrée

December 9, 2022

Monome: Xinyu HUANG(3803966)

Professeur: M.Pierre Fouilhoux

Contents

1	Introduction	3
2	Travail réalisé	3
2.1	Description des fichiers	4
3	Résolution heuristique	4
3.1	Le Problème de Lot-Sizing (LSP)	4
3.2	Le problème de tournée de véhicules(VRP)	5
3.3	Temps d'exécution et qualité du résultat	6
4	Résolution exacte	6
4.1	PLNE MTZ	6
4.2	PLNE Branch and cut	6
4.3	Test	8
4.3.1	Test sur le PLNE MTZ	8
4.3.2	Test sur le PLNE Branch and cut	9
5	Mode d'emploi de l'interface <i>PDI calculator</i>	11
6	Conclusion	12
7	Bibliographie	12

Résumé

Dans ce projet, on veut étudier le problème de Production et Distribution Intégrée. Tout d'abord on va chercher à le résoudre en utilisant une heuristique gloutonne *Bin-Packing*.

Ensuite, on va essayer de le résoudre avec les méthodes exacte sans/avec la méthode de *Branch-and-cut*.

On résume le travail en faisant les tests et créant une petite GUI qui facilite la résolution du problème et la visualisation des résultats.

1 Introduction

Le problème de Production et Distribution Intégrée stables est un problème de planification opérationnelle, qui modélise la production d'un fabricant et sa distribution aux clientèles.

Le problème PDI a pour cadre applicatif la gestion des décisions de planification d'un fournisseur (Vendor Managed Inventory) par exemple un producteur de produits frais. Le fournisseur surveille les stocks de ses revendeurs (ou détaillants) et décide d'une politique d'approvisionnement pour chacun de ses revendeurs. Le fournisseur est alors le décideur central qui doit résoudre le problème PDI en ayant une connaissance complète des données (état des stocks, besoins,...) fournies par les revendeurs.

Le problème s'intègre deux problèmes très classiques d'optimisation combinatoire en Recherche Opérationnelle : le problème de dimensionnement de lots (Lot-Sizing Problem ou LSP) et le problème de tournées de véhicules (Vehicle Routing Problem ou VRP) .

2 Travail réalisé

- Fonctions "outils"
 - Lecture de l'instance
 - Fonctions pour obtenir les sous-tours existant pour une affectation des variables donnée.
- Méthode heuristique
 - PLNE pour résoudre le problème de LSP
 - Implémentation de la heuristique "Bin packing" pour résoudre le problème de VRP
- Méthode exacte
 - Implémentation de la méthode exacte avec les inégalités MTZ
 - Implémentation de la méthode exacte avec un algorithme de Branche and Cut
- Interface

2.1 Description des fichiers

- dossier PRP_instances : contenant les fichiers des instances prédéfinis ou créés.
- dossier data : contenant les graphes dessinées pour chaque instances
- read_data.jl : les fichiers contenant les fonctions pour lire un instance et le transformer en une structure facile à utiliser.
- PDI_resolution_heuristique.jl
- PDI_resolution_exacte.jl
- PDI_resolution_BnC.jl
- interface.jl : contenant les codes pour créer l'interface
- tool.jl : contenant les fonctions pour détecter les sous-tours existant pour une affectation des variables donnée

3 Résolution heuristique

Pour la résolution heuristique, on décompose le problème PDI en deux sous-problèmes LSP et VRP. Vu que LSP est un problème facile donc on le résout directement avec une formulation de PLNE. ET VRP est reconnu comme un problème NP-difficile, donc pour faciliter la résolution, on applique une heuristique "Bin-Packing". Le problème PDI est résolu en faisant passer les résultats obtenus par PLNE vers l'heuristique Bin-Packing.

3.1 Le Problème de Lot-Sizing (LSP)

La résolution de LSP est très simple en réalisant ces formules en Julia avec le Cplex.

$$\begin{aligned} \min \quad & \sum_{(i,j) \in A} c_{ij} x_{ij} \\ & \sum_{j=1}^n x_{0j} \leq m \\ & \sum_{i=1}^n x_{i0} \leq m \\ & \sum_{j=0}^n x_{ij} = 1 \quad \forall i \in \mathcal{N}_C, \\ & \sum_{i=0}^n x_{ij} = 1 \quad \forall j \in \mathcal{N}_C, \\ & w_i - w_j \geq d_i - (Q + d_i)(1 - x_{ij}) \quad \forall i \in \mathcal{N}_C, \forall j \in \mathcal{N}_C, \\ & 0 \leq w_i \leq Q \quad \forall i \in \mathcal{N}_C \\ & w_i \in \mathbb{R} \quad \forall i \in \mathcal{N}_C \\ & x_{ij} \in \{0, 1\} \quad \forall (i, j) \in A. \end{aligned}$$

“

3.2 Le problème de tournée de véhicules(VRP)

La résolution du VRP est implémenté par moi-même, le principe est de, à chaque pas de temps, on cherche les résultats obtenus par LSP pour savoir quelles sont les clients à livrer. En partant du noeud initial, on cherche le plus proche voisin possible, de façon à ne pas dépasser la capacité du véhicule. Si un véhicule est sur-chargé, on envoie un deuxième véhicule.....

Algorithm 1 Pin-Packing

```
1: —Input —
2: Q:Maximum charge capacity of a vehicule
3: clients_needed_to_visite:clients that  $x[\text{client},t]==1$ 
4: q:a array corresponding to demand for each client
5: —Input —
6: —Output —
7: Objectif_value
8: —Output —
9: vehicule_counter=0
10: charge_actual_vehicule=0
11: partition=Dict()
12: for client in clients_needed_to_visite do
13:   if charge_actual_vehicule==0 then
14:     charge_actual_vehicule=q[client]
15:     partition[vehicule_counter]=[]
16:   else if charge_actual_vehicule+q[client] > Q then
17:     vehicule_counter++
18:     charge_actual_vehicule=q[client]
19:     partition[vehicule_counter]=[]
20:   else
21:     charge_actual_vehicule+=q[client]
22:
23:   end if
24:   push!(partition[vehicule_counter],client)
25: end for tsp_partition=Dict()
26: if length(partition)!=0 then
27:   for i in 1:vehicule_counter do
28:     Generate order of partition by distance- $\zeta$  tsp_partition
29:   end for
30: end if
31: Objectif_value=0
32: for key, value in tsp_partition do
33:   for j in 1:length(value)-1 do
34:     Objectif_value+=distance[j][j+1]
35:   end for
36: end for
37: return Objectif_value
```

3.3 Temps d'exécution et qualité du résultat

Voici les résultats trouvés:

Nom de l'instance	taille	valeur optimal	temps d'exécution
A_014_ABS1_15_1.prp	14	41853.0	29.94 sec
A_020_ABS1_50_1.prp	20	54602.0	28.88 sec
A_025_ABS1_50_1.prp	25	67126.0	29.43 sec
A_030_ABS1_50_1.prp	30	77972.0	29.37 sec
A_050_ABS1_50_1.prp	50	121424.0	30.79 sec
B_200_instance1.prp	200	2.34e6	185.18 sec

Interprétation : On a remarqué que l'approche utilisant l'heuristique Bin-packing est très puissant en terme de vitesse, même les instances de tailles 200 peuvent être résolus en temps raisonnable. On suppose cette approche propose une borne supérieure pour les méthodes exactes.

4 Résolution exacte

Pour la partie concernant les méthodes exactes, deux types de résolutions sont implémentés. Le premier est une PLNE avec les inégalités de MTZ, dont la formulation [1-16] de l'article [1]. L'autre est une PLNE contenant les formules [1-10],[13-16] en generant à chaque affectation des variables une méthodes de branch-and-cut avec les deux formules de l'élimination de sous-tours [17][19].

4.1 PLNE MTZ

Pour pouvoir résoudre le problème intégré, il faut surtout traité le problème de sous-tours, donc on a ajouté un variable w_{it} qui représente la charge du vehicle avant passer par le client i à l'instant t .

Deux contraintes pour l'élimination de sous-tours:

- $w_{it} - w_{jt} \geq q_{it} - \tilde{M}_{it}(1 - x_{ijt}) \quad \forall (i, j) \in A, \forall t \in T$
- $0 \leq w_{it} \leq Qz_{it} \quad \forall i \in N_c, \forall t \in T$

4.2 PLNE Branch and cut

Pour pouvoir réaliser un algorithme de Branch-and-cut, il faut que je trouve une méthode pour détecter les sous-tours. Ici on défini les sous-tours comme les circuits qui ne passent pas le noeud 1 ou les noeuds dont les valeurs z_{it} valent 1. J'ai implémenté deux fonctions pour satisfaire cette besoin.

Algorithm 2 detect_soustours

```
1: —Input —
2: n: nb de clients
3: xsep: une matrice qui corresponde à une affectation des valeurs de variable x
4: —Input —
5: —Output —
6: non_soustours : boolean vaut true s'il n'existe pas de sous-tours
7: soustours : ensemble contenant les sous-tours
8: —Output —
9: sousTours, his_visite deux ensemble vide
10: non_soustours = true
11: for i le numéro de noeud allant de 2 à nb_max do
12:     if i n'est pas visité then
13:         for j le numéro de noeud allant de 2 à nb_max do
14:             if xsep[i][j] >= 1 then
15:                 if n'a pas trouvé de circuit contenant l'arc i-j allant au noeud 1 then
16:                     non_soustours = false
17:                     ajouter le sous-tours trouvé dans l'ensemble sousTours
18:                     ajouter les noeuds dans le sous-tours dans l'historique his_visite.
19:                 end if
20:             end if
21:         end for
22:     end if
23: end for
24: return non_soustours, sousTours
```

Principe : Le principe de cette fonction est simple : Pour une affectation des x données, on cherche s'il existe de sous-tour et pour chaque $xsep[i][j]$ valant 1, on cherche s'il est dans un sous-tours en appelant la fonction suivante `chercher_tournee`.

Algorithm 3 chercher_tournee

```
1: —Input —
2: n: nb de clients
3: xsep: une matrice qui corresponde à une affectation des valeurs de variable x
4: i,j : deux noeuds non visités tel que le valeur xsep[i,j] égal à 1.
5: —Input —
6: —Output —
7: tournee : le sous-tour trouvé/peut être vide
8: —Output —
9: tournee = [j]
10: noeud_de_depart = i
11: noeud_init_trouvé = false
12: historique = set[i]
13: while n'a pas trouvé noeud de départ ou noeud 1 do
14:     ajouter noeud de depart dans la tournee et la historique
15:     for i allant de 1 à nb_max do
16:         if xsep[noeud_de_depart][i]>=1 et i n'est pas dans la tournée then
17:             noeud_de_depart=i
18:             on pass à l'itération suivante
19:         end if
20:         if noeud_de_depart est le noeud 1 then
21:             noeud_init_trouvé = true
22:             on rajoute le noeud dans la tournée
23:         end if
24:     end for
25: end while
26: return noeud_init_trouvé, tourné
```

Principe : En lui proposant i,j deux noeuds tel que xij valant 1, cette fonction chercher l'existence de circuit et s'il en existe, détecter si c'est un sous-tours ou une tournée normale passant par le noeud 1.

4.3 Test

4.3.1 Test sur le PLNE MTZ

J'ai commencé avec les instances de grande taille(14/50), la résolution a apparru extrêmement lente et donc j'ai décidé de commencer avec les instances de petits tailles et on veut savoir juste à quelle taille de l'instance le PLNE peut-il résoudre de façon "rapide".

Voici les résultats trouvés:

Nom de l'instance	taille	valeur optimal	temps d'exécution
A_005_ABS1_15_z.prp	5	21672.0	24.41 sec
A_006_ABS1_15_1.prp	6	23680.0	273.09 sec
A_007_ABS2_15_4.prp	7	17525.0	1915.77 sec

Interprétation : on peut bien remarquer que pour les instances de taille très petite(7), la méthode a prise beaucoup de temps. Pour les instances de taille plus grande, il me semble impossible à les résoudre en temps raisonable.

4.3.2 Test sur le PLNE Branch and cut

Pour le PLNE avec la méthode Branch and cut, la résolution des instances de taille 14 est instantané, donc on veut étudier le temps de l'exécution sur différentes instances de taille 14.

Nom de l'instance	valeur optimal	temps d'exécution
A_014_ABS1_15_1.prp	40345.9	27.23 sec
A_014_ABS1_15_2.prp	40317.0	24.75 sec
A_014_ABS1_15_3.prp	34146.9	7.20 sec
A_014_ABS1_15_4.prp	41655.0	19.61 sec.

Interprétation:

On a fait plusieurs essais sur les instances de tailles 14 donc notre méthode fonctionne bien sur ces instances. Par contre, le temps de résolution dépend vraiment de l'instance: la résolution de l'instance3 est très rapide, soit de 7.20 secondes. En même temps, la résolution de l'instance2 est relativement lent, soit deux fois plus lent que cela de l'instance3.

Notre résultat est bien valide et on peut regarder les graphes produits en-dessous, il n'existe pas de sous-tours et la somme des quantités d'approvisionnement est bien inférieur à la capacité de véhicule à chaque instant.

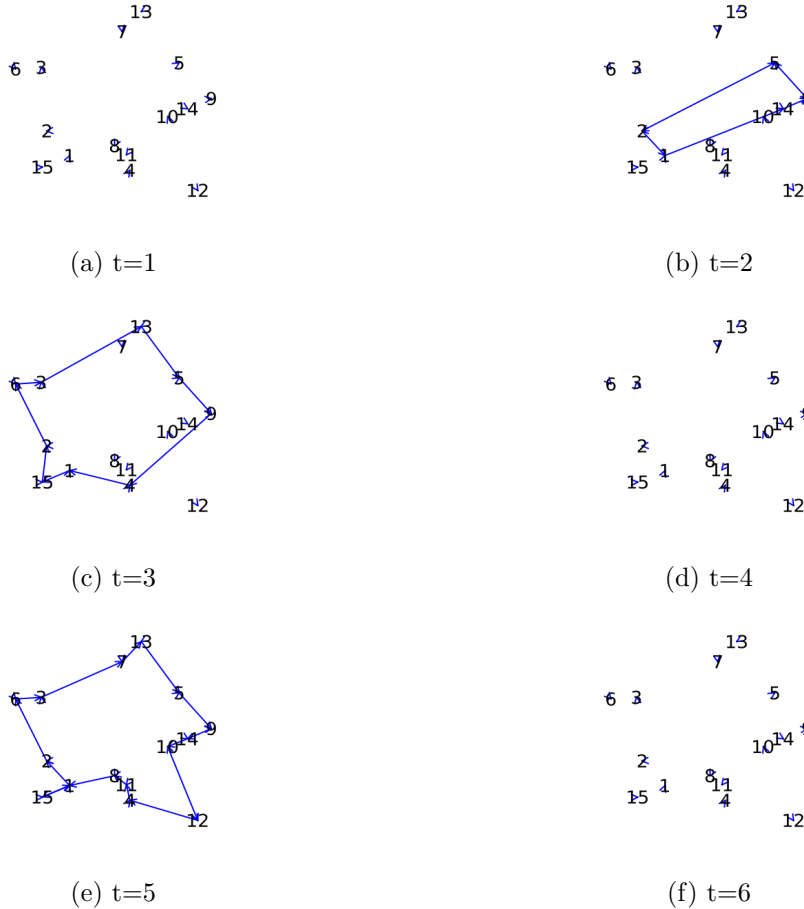


Figure 1: Les graphes produits par le PLNE Branch and cut de l'instance A_014_ABS1_15_1.prp.

Par la suite, j'ai essayé avec les instances de tailles 50, la résolution a l'air très lente et en même temps plus la borne inférieure augmente, plus la valeur de l'augmentation devient faible. Donc on veut essayer les instances de taille entre (14 et 50) pour vérifier la performance de notre méthode.

Nom de l'instance	taille	valeur optimal	temps d'exécution
A_014_ABS1_15_1.prp	14	40345.9	17.01
A_020_ABS1_50_1.prp	20	53048.0	54602.0
A_025_ABS1_50_1.prp	25	63715.0	67126.0
A_030_ABS1_50_1.prp	30	74837.9	121424.0
A_035_ABS1_50_1.prp	30	pas trouvée	très lente

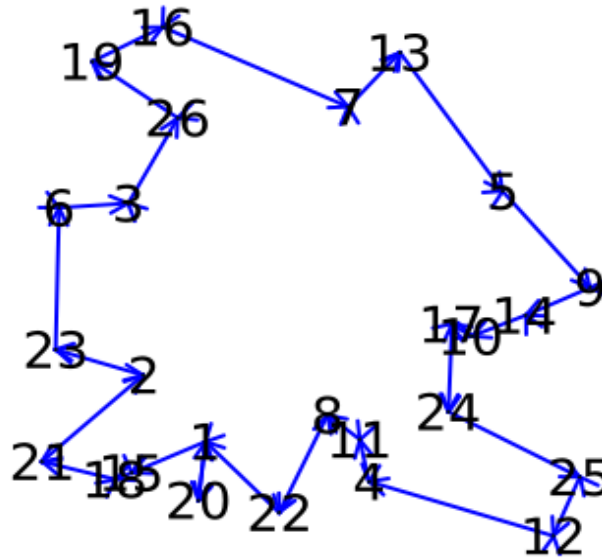


Figure 2: La graphe obtenue avec l'instance A_025_ABS1_50_1.prp pour $t=5$

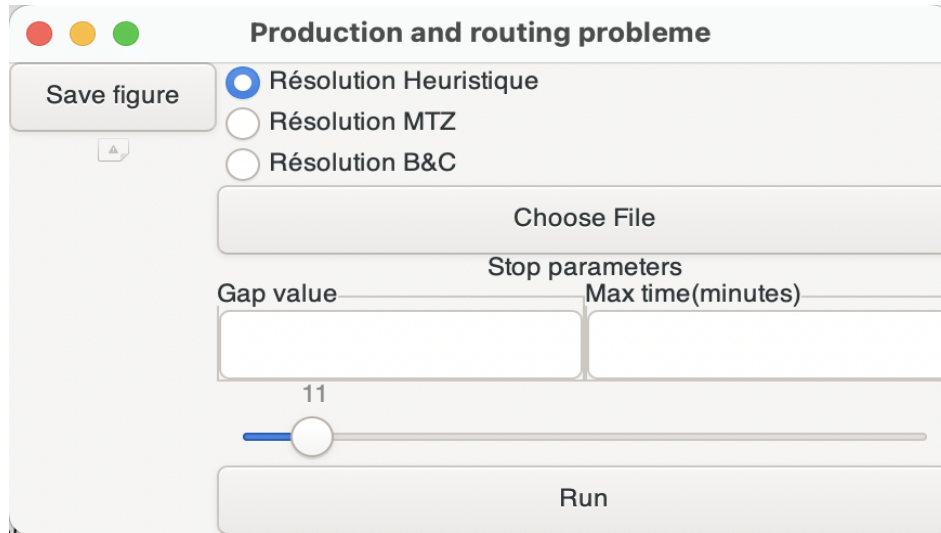
Interprétation:

J'ai remarqué qu'à partir des instances de taille 25, le temps d'exécution est devenu très lent, cela peut être raisonné par notre façon de Branch-and-cut tel que le nombre de contraintes croît exponentiellement par rapport à la taille de l'instance.

5 Mode d'emploi de l'interface *PDI calculator*

L'interface *PDI calculator* est une interface pour faciliter à résoudre le problème de PDI.

Affichage :



“

Exécution : à partir de chemin courant, taper `julia interface.py`

Fonctionnalité: résoudre le problème de PDI en utilisant

- 1)Bin Packing
- 2)Résolution exacte MTZ
- 3)Résolution exacte B&C

Données utilisés: Les instances proposés par l'enseignant/créés par moi-même.

Étapes à suivre pour l'exécution

- taper `julia interface` pour exécuter le fichier
- choisir la méthode pour résoudre le problème
- exécuter l'instance en cliquant sur le bouton "run"
- inspecter les graphes produits

6 Conclusion

Remarque 1 La valeur minimale des solutions obtenues par les heuristiques est une borne supérieure du problème, donc il est utile de coder plusieurs heuristiques pour trouver une meilleure borne qui peut accélérer la résolution exacte.

Voici les résultats de l'approche heuristique et la méthode exacte avec branch-and cut, on peut bien remarqué que les résultats de l'approche est bien une borne supérieure de notre résultats exacte.

Nom de l'instance	Méthode exacte BnC	Binpacking
A_014_ABS1_15_1.prp	40345.9	41853.0
A_020_ABS1_50_1.prp	53048.0	54602.0
A_025_ABS1_50_1.prp	63715.0	67126.0
A_030_ABS1_50_1.prp	74837.9	77972.0
A_035_ABS1_50_1.prp	pas trouvée	121424.0

Remarque 2 Pour un problème donné, il faut parfois chercher les propriétés du problème(ici, les sous-tours) et parfois, la vitesse des différentes formulations de la PL peut être très différente.

Remarque 3 Le temps de l'exécution pour les méthodes exactes varie largement en augmentant le nombre de clients, même pour les différents instances de même taille. En revanche, pour l'approche heuristique ici, le temps d'exécution augmente peu en ajoutant les clients, cela peut être expliqué par le fait que le problème de LSP est un problème simple et notre résolution du second problème est basé sur un algorithme glouton qui est efficace.

7 Bibliographie

[1] Y. Adulyasak and J-F Cordeau and R. Jans (2015). The production routing problem : A review of formulations and solution algorithms Computers & Operations Research, 55 :141-152.